

효소면역 전기영동 이적법을 이용한 질트리코모나스 항원의 비교 분석

한양대학교 의과대학 기생충학교실, 자연과학대학 생물학과 미생물학교실*

민득영 · 임미혜 · 김재만 · 최영길*

요약: 질트리코모나스의 항원 분석을 시행하기 위하여 병원성이 확인된 질트리코모나스(*Trichomonas vaginalis*) 6개주(HY-1, 2, 3, 9, 10, 13)의 항원을 sodium dodecyl sulfate-polyacrylamide gel electrophoresis(SDS-PAGE) 한 결과 Coomassie brilliant blue 염색상에서 peptide의 밀도 차이를 제외하고는 주간에 동일한 단백질 분포양상을 보였으며, 12 kDa에서 170 kDa까지 약 25개 정도의 분획이 관찰되었다. 또한 질트리코모나스 HY-1주를 항원으로 하고 질트리코모나스 6개주에 대해 면역된 마우스의 항혈청을 이용하여 enzyme-linked immunoelectrotransfer blot(EITB)을 시행한 결과 각 주마다 서로 다른 반응양상을 보였으며, 51 kDa와 96 kDa에서 질트리코모나스의 특이한 공통 반응대가 관찰되었고, 각기 다른 6개주의 항원에 대해 HY-1주의 항혈청으로 EITB한 결과 HY-1 항원(homologous antigen)과의 반응 양상과 타항원(heterologous antigen)과의 반응 양상간의 특이한 차이는 관찰할 수 없었다. 이상의 결과로 보아 질트리코모나스 각 주의 항원은 항원-항체 반응에서 주간에 이종(antigenic heterogeneity)을 형성하고 있는 것으로 보였으며, 41, 47, 55, 74 및 94 kDa에서 질트리코모나스에 특이한 공통반응대를 보였으며, 이 부분이 숙주-기생충의 상호관계에 있어서 중요한 의미를 내포하고 있을 것으로 생각된다.

Key words: *Trichomonas vaginalis*, enzyme-linked immunoelectrotransfer blot(EITB), antigenic heterogeneity

서 론

질트리코모나스에 감염되면 숙주에서는 세포매개성 면역 반응이 일어난다. 숙주에서는 백혈구의 화학주성(chemotaxis)으로 질트리코모나스에 백혈구가 국소적으로 침윤되고(Mason and Forman, 1980), 대식세포나 자궁경부 상피세포 내로 질트리코모나스가 internalization 되기도 하며(Honigberg and McLure, 1961; Honigberg, 1978), 호중구에 의한 항 질트리코모나스 작용도 일어나는 것으로 알려져 있다(Rein *et al.*, 1980). 또한 질트리코모나스에 감염된 환자의 질분비물에서 질트리코모나스에 대한 항체가 검출되며(Ackers *et al.*, 1975; Su, 1982) 질트리코모나스 감염환자의 혈청 내에서는 IgG 및 IgM 항체가가 증가되어 있어(Mason, 1979; Street *et al.*, 1982) 채액성 면역 반응도 관여하는 것으로 알려져 있다.

국내에서는 이 질병의 기전에 대한 연구가 미진한 상태이며 부분적으로 질트리코모나스의 환자의 채액성 및 세포매개성 면역반응에 대한 연구가 있었으며(金 등, 1983; 윤 등, 1987; 신 등, 1990; 이 등, 1990), 최근 들어 질염환자로부터 분리한 질트리코모나스를 항원으로 하여 항원성 분석을 시도하였으나 분리주간의

차이는 발견하지 못하였다(송 등, 1991).

이 실험에서는 질트리코모나스증 환자에서 숙주와 원충의 상호관계에서 일어나는 면역학적 반응의 기전을 규명하려는 시도의 일환으로 질트리코모노 항원을 분획하고, 각 분획 항원과 각 주의 질트리코모나스에 대해 면역시킨 마우스의 항혈청을 반응시켜 특이 항원과 공통항원의 존재 여부를 확인하였으며, 각 분획에 대한 항원-항체 반응을 관찰함으로써 문자량별 항원의 유의성을 비교 검토했다.

재료 및 방법

1. 항원

1) 질트리코모나스의 분리: 질트리코모나스는 한양대학병원 산부인과에 내원한 질염환자로부터 분리하여 얻었으며, 이들 분리주를 중 마우스에 배추 피하 조직에 접종하였을 때 나타난 피하농양으로 병원성이 확인된 HY-1, 2, 3, 9, 10, 13 등 6개주의 원충을 이 실험에 사용하였다.

2) 질트리코모나스의 배양: 질트리코모나스는 Diamond(1957)의 TPS-1 배지에 2×10^6 cells/ml의 밀도로 접종하여 37°C 항온기에서 무균적으로 배양, 본 실험에 사용하였다.

3) 질트리코모나스의 항원 : 질트리코모나스는 대량 배양하여 인산완충용액으로 $3,000 \times g$ 에서 5분간 원심 분리하여 3회 세척한 다음 항원으로 사용하였다. 마우스에 면역시키기 위해서는 세척된 살아 있는 항원을 사용하였으며, 수용성 항원은 다음과 같은 세가지 방법으로 제조하였다. 즉 세척한 질트리코모나스에 trichloroacetic acid(TCA)가 10%(v/v)되게 잘 섞어 4시간 정도 4°C 냉장고에 둔 다음 $10,000 \times g$, 4°C 에서 5분간 원심분리하고 인산완충용액으로 동일 조건에서 3회 세척하여 침사를 강산으로 처리하여 항원으로 사용하였으며, 세척한 질트리코모나스를 얼음상자 내에서 sonicator로 분쇄하고 $10,000 \times g$ 에서 30분간 2회 원심 침전시키고 상청액을 sonication에 의해 처리된 항원으로 사용하였고, 계면활성제로 처리된 수용성 항원을 얻기 위하여 세척한 질트리코모나스를 1% Triton X-100과 antiprotease mixture로서 1 mM phenylmethylsulfonyl fluoride, 1 mM N-tosyl-L-phenylalanine chloromethyl ketone, 1 mM p-tosyl-L-lysine chloromethyl ketone (Sigma, St. Louis)을 넣은 인산완충 용액에 혼합시킨 다음 dry ice-ethanol 상자에서 3회 얼렸다 녹이는 과정을 반복하고, $100,000 \times g$ 에서 30분간 원심분리하여 얻은 상청액을 항원으로 사용하였다. 각 항원의 단백질 함량은 Lowry *et al.* (1951)의 방법으로 정량하였다.

2. 항혈청

질트리코모나스에 대한 항혈청을 얻기 위하여 4주된 BALB/c 마우스 10마리에 각 주의 살아있는 2×10^6 의 질트리코모나스를 각각 피내주사하고 1주 후에 1×10^6 의 질트리코모나스를 피하주사한 다음 10일 후에 후안와 정맥총으로부터 채혈, 혈청을 분리하였다.

3. Sodium dodecyl sulfate-polyacrylamide gel electrophoresis(SDS-PAGE)

질트리코모나스 항원의 분자량별 분획을 확인하고 질트리코모나스 분리주간의 항원을 비교하기 위하여 Laemmli(1970)의 방법에 따라 5~20% linear gradient gel에 HY-1, 2, 3, 9, 10, 13주의 항원을 $50 \mu\text{g}$ 씩 부하하여 전기영동을 실시하였다.

전기영동된 각 분획의 분자량은 표준단백(low M.W. marker: M.W. 14,400~79,400, high M.W. marker: M.W. 45,000~200,000, Bio-Rad, Rockville Center, N.Y.)을 사용하여 Lambin(1978)의 방법으로 환산하였으며, 전기영동된 gel은 Coomassie brilliant blue-R 250에 염색하거나 immunoblotting에 사용하였다.

4. Enzyme-linked immuno-electrotransfer blot(EITB)

EITB는 Towbin *et al.* (1979)과 Tsang *et al.* (1983)의 방법에 따라 실시하였다.

1) SDS-PAGE : TCA로 처리하여 준비된 질트리코모나스를 항원으로 하여 앞의 방법과 동일하게 시행하였다.

2) Blotting : 전기영동된 gel은 nitrocellulose paper (pore size 0.45 μm , Bio-Rad, Rockville Center, N.Y.)에 밀착시켜 transfer chamber(Bio-Rad, Rockville Center, N.Y.)에 넣고 transfer buffer(20% methanol, 25 mM Trizma base, 19 mM glycine, pH 8.3)로 채운 다음 70V , 4°C 에서 3시간 동안 전이시켰다. 이때 표준 단백이 전이된 nitrocellulose paper는 Amido black 10B로 염색한 다음 분자량 환산에 이용하였다.

3) Immunostaining : 항원이 전이된 nitrocellulose paper는 5% skim milk에 넣어 37°C 에서 2시간 동안 반응시켜 비특이적 반응을 억제시켰으며 항혈청이 1:200으로 희석된 용액에 넣어 37°C 에서 하룻밤을 두었다. 항원-항체 반응이 일어난 nitrocellulose paper는 1:500으로 희석된 peroxidase-conjugated goat anti-mouse IgG(Cappel, West Chester, Pa.) 용액에 넣어 37°C 에서 1시간 동안 반응시킨 다음 기질용액(diaminobenzidine 50mg, 30% H_2O_2 10 μl , PBS 100 ml)에서 반응시켜 10분내에 항원-항체 반응을 관찰하였다.

결과

1. Sodium dodecyl sulfate-polyacrylamide gel electrophoresis(SDS-PAGE)

질트리코모나스 항원의 분자량 분포를 알아보기 위하여 병원성이 확인된 6개주의 질트리코모나스 항원을 5~20%의 linear gradient gel에서 SDS-PAGE하였다.

먼저 항원의 준비 과정에서 어느 방법이 가장 안정된 방법인가 알아보기 위하여 TCA로 처리한 군, sonication한 군, detergent로 처리한 군을 각각 전기영동시켰던 때 TCA를 처리한 군에서는 sonication한 군이나 detergent로 처리한 군에서는 볼 수 없었던 96, 135, 170 kDa의 높은 분자량의 분획이 보였던 반면 sonication한 군은 12 kDa에서부터 110 kDa까지 20~25개의 분획이 보였으며 detergent를 처리한 군은 12 kDa에서부터 55 kDa까지 25개 정도의 분획이 보였다(Fig. 1).

질트리코모나스 항원의 주간 차이를 비교하기 위하여 TCA로 처리한 6개주의 항원을 전기영동하여 Coomassie brilliant blue로 염색하였을 때 질트리코모나스의 항원은 12 kDa에서 170 kDa까지 약 25개 정도의 분획으로 분리되었으며 peptide들의 밀도차이를 제외하고는 주간에 동일한 단백질 분포 양상을 보였다(Fig. 2). 이것은 전기영동후 nitrocellulose paper에 이격된 항원을 amido black으로 염색한 결과와도 동일하였다.

2. Enzyme-linked immuno-electrotransfer blot(EITB)

질트리코모나스 항원의 다양성을 확인하기 위하여 병원성이 가장 높은 것으로 나타난 HY-1주를 항원으로 하고 질트리코모나스 6주에 대한 각각의 항혈청을 반응시킨 결과(Fig. 3) 주마다 서로 다른 주행 양상을

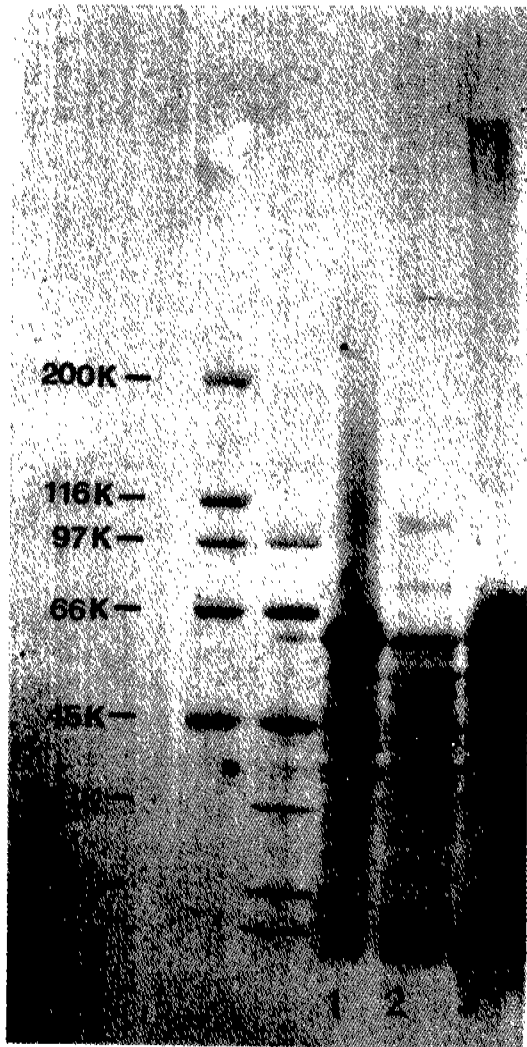


Fig. 1. SDS-PAGE of TCA-treated(lane 1), sonicated(lane 2) and detergent-treated (lane 3) proteins of pathogenic human *T. vaginalis* isolate HY-1.

나타냈으며, HY-1주(Fig. 3, lane 2)가 가장 많은 반응대를 보였던 반면 HY-2주(Fig. 3, lane 3)는 가장 적은 반응대를 보였다.

그러나 그중에서도 41, 47, 55, 74 및 94 kDa에서는 공통반응대를 보였으나, 이중 55 kDa의 반응대가 정상 대조군에서도 관찰되어 41, 47, 74 및 94 kDa의 반응대만이 질트리코모나스에 면역된 마우스혈청에 특이한 공통반응대인 것으로 나타났다(Fig. 3). 각기 다른 6주의 항원에 대한 HY-1 항혈청의 반응을 관찰한 바 homologous 항원에 대해 더 많은 반응대를 나타내거나, 반응성이 강하게 관찰되지 않았다.

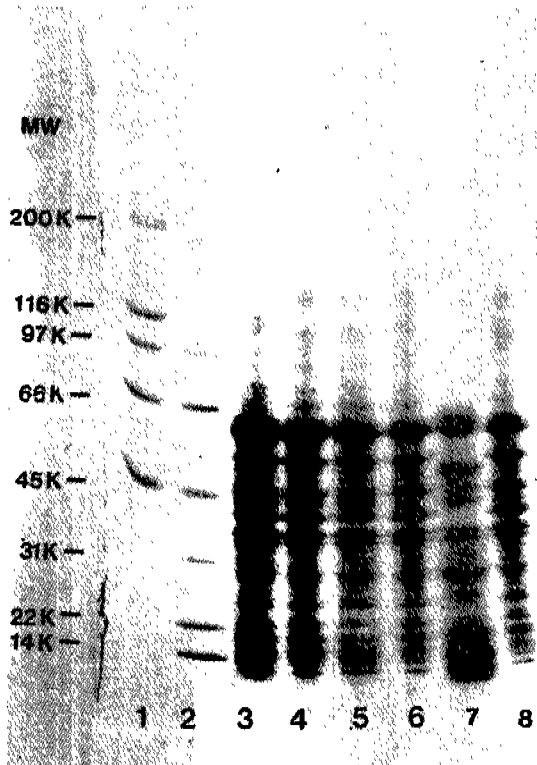


Fig. 2. SDS-PAGE of six pathogenic human *T. vaginalis* isolates treated with TCA. Lane 3; HY-1, lane 4; HY-3, lane 5; HY-13, lane 6; HY-2, lane 7; HY-9, lane 8; HY-10

고 졸

질트리코모나스증에 의한 숙주의 면역학적 반응을 이해하기 위한 연구의 일환으로 질트리코모나스의 항원분석이 시도됨에 따라 질트리코모나스는 주간 또는 중간과는 물론 같은 편모종류와도 공통항원을 공유하고 있으며(Alerate, 1983; Honigberg, 1978; Kott and Adler, 1961; Torian *et al.* 1984) 또한 서로 다른 특이 항원도 보유하고 있다고 알려지고 있다. 따라서 질트리코모나스의 공통된 항원과 특이한 항원을 찾아 혈청학적 검사방법으로 나타나는 다양성과의 관계를 추적해 보는 것은 이 원충에 의한 질병을 면역학적 관점에서 이해하는데 매우 중요하다고 할 수 있다.

이 실험에서는 질트리코모나스의 항원을 전기영동상에서 비교하기 위하여 먼저 수용성 항원을 준비하는 방법을 비교하였는데 TCA로 처리한 항원을 전기영동했던 경우 sonication한 군에서나 detergent를 처리했던 군에서는 볼 수 없었던 96, 135 및 170 kDa의 높은

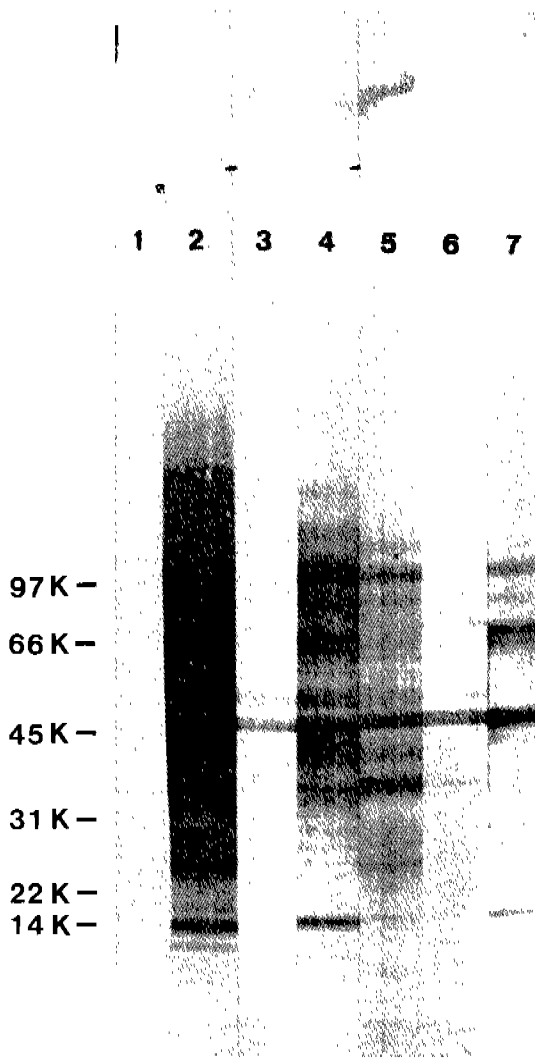


Fig. 3. Immunoblot of a single isolate(HY-1) of *T. vaginalis* probed with normal mouse serum(lane 1) or serum from mice immunized with isolates HY-1 (lane 2), HY-2(lane 3), HY-3(lane 4), HY-9(lane 5), HY-10(lane 6) and HY-13(lane 7).

분자량의 분획을 보였으므로 TCA로 처리하여 항원을 준비하는 방법이 질트리코모나스 항원을 가장 안전하게 용출시킬 수 있을 것으로 생각되었다(Fig. 1).

질트리코모나스 분리주들(HY-1, 2, 3, 9, 10, 13)의 단백질 분포를 TCA처리된 항원으로 SDS-PAGE상에서 비교해 본 결과, 12 kDa에서 170 kDa까지 25개 정도의 분획이 분리주간에 동일하게 분포하는 것으로 나타났다(Fig. 2). 이것은 Alderac(1983)의 보고와도 부합되는 결과였다.

질트리코모나스 HY-1주의 전기영동으로 전개된 항원이 6개 주(HY-1, 2, 3, 9, 10, 13)에 대한 각각의 마우스 항혈청과 반응하는 양상을 비교하기 위해 EITB를 시행하였던 바(Fig. 3), 각 6개의 분리주는 독특한 반응양상을 보여 각각의 분리주에 대한 type-specific antigen을 확인할 수 있었고, 그 중에서도 44, 47, 74 및 94 kDa 분자량의 반응대는 모든 분리주에서 공통으로 나타났으며, 음성대조군인 정상마우스의 혈청과의 반응은 보이지 않아 이 반응대는 질트리코모나스에서 독특한 공통반응대로 추정할 수 있었다. 또한 이 중 EITB 상 반응대가 많이 나타나는 것이 면역원성(immunogenicity)이 높은 것으로 볼 때 HY-1주는 비교적 면역원성이 높은 것으로 나타났으며 HY-2주는 비교적 낮은 것으로 나타나, 이 결과로 Alderate *et al.* (1985)을 포함하여 많은 연구자들에 의해 보고되고 있는 질트리코모나스의 antigenic heterogeneity를 확인할 수 있었다.

한편 이 실험의 결과에는 나타나 있지 않지만 마우스의 피하농양으로 질트리코모나스 분리주 HY-1, 2, 3, 9, 10, 13주의 병원성을 측정하고 각 주에 대한 마우스의 반응을 EITB상으로 비교하였을 때 마우스 개체마다의 차이도 있는 것으로 나타났는데, Fig. 3의 결과 면역원성이 높았으며 마우스의 피하농양 형성에서 병원성이 높은 것으로 나타난 분리주 HY-1에 대해 면역된 마우스는 EITB상 개체 모두가 높은 면역원성을 나타냈던 반면, 병원성이 낮게 나타났으며 면역원성도 비교적 낮았던 분리주 HY-10에 면역된 마우스는 면역원성을 나타내는 개체가 7마리 중 2마리 정도의 적은 비도로 나타났으므로 병원성이 높은 분리주(HY-1)는 면역원성도 높게 나타나며 병원성이 낮은 분리주(HY-10)는 면역원성도 낮게 나타난다고 이해되었다. 이는 질트리코모나스 감염에 대한 속주의 면역반응이 개체마다 다르게 일어날 수 있기 때문이라고 설명할 수 있으며, 질트리코모나스 주(isolate) 내에도 면역원성이 있는 표면항원을 가진 population이 따로 존재하고 있어 이 population이 클수록 항원성이 높은 주(isolate)가 될 수 있다고 antigenic heterogeneity를 설명한 Alderate *et al.* (1985)의 보고와 어느정도 부합되는 결과였다.

이 실험의 결과로 볼 때 질트리코모나스는 분리주간에 차이가 있어 주간에 변동성(variability)이 형성되고 있는 것으로 나타났으며, 주간에 나타나는 면역원성의 차이와 병원성은 서로 상관관계가 있는 것으로 해석되었으나 이 실험 결과로는 그 기전을 설명할 수 없다. 따라서 앞으로는 antigenic heterogeneity를 유발하는 것으로 알려져 있는 표면항원을 분리하여 분리주간의 차이를 비교하고 분리주간에 공통항원으로 나타났던 44, 47, 74 및 94 kDa 분자량을 가진 반응대의 locality를 확인해야 할 것으로 생각되며, 이 결과에 따른 질병 발생 기전과 속주의 면역반응과의 상관관계가

계속 추시되어야 할 것이다.

참 고 문 헌

- 金珍鏡・金載診・任敬一・李根泰 (1983) 질트리코모나스(*Trichomonas vaginalis*) 감염의 면역학적 진단법에 관한 비교연구. 연세의대 논문집, 16:422-431.
- 송준호・김재만・임미혜・민득영 (1991) 질트리코모나스의 항원성 분석. 漢陽醫大學術誌, 11:199-210.
- 신수재・류재숙・신명현・안명희・민득영 (1990) 질트리코모나스에 대한 바우스의 세포매개성 면역반응에 관한 연구. 漢陽醫大學術誌, 10:237-244.
- 윤경・김경민・안명희・민득영. (1987) 질트리코모나스증에서 간접형 광항체법을 이용한 혈청내 항질트리코모나스 IgG 및 IgM 항체의 측정. 기생충학잡지, 25:7-12.
- 이미리・신명현・임미혜・류재숙・안명희・민득영. (1990) 질트리코모나스 환자에서 표식면역 검사법을 이용한 혈청내 항질트리코모나스 IgG 및 IgM의 측정. 기생충학잡지, 28:25-30.
- Ackers, J.P., Lumsden, W.H.R., Catterall, R.D. and Coyle, R. (1975) Antitrichomonal antibody in the vaginal secretions of women infected with *Trichomonas vaginalis*. *Br. J. Vener. Dis.*, 51:319-323.
- Alderete, J.F. (1983) Antigen analysis of several pathogenic strains of *Trichomonas vaginalis*. *Infect. Immun.*, 39:1041-1047.
- Alderete, J.F., Sprun-Brown, L., Kasmala, L., Smith, J. and Spence, M. (1985) Hetetogeneity of *Trichomonas vaginalis* and discrimination among trichmonal isolate and subpopulations with sera of patients and expeperimentally infected mice. *Infect. Immun.*, 49:463-468.
- Diamond, L.S. (1957) The establishment of various trichomonads of animals and man in axenic cultures. *J. Parasitol.*, 43:488-490.
- Honigberg, B.M. (1978) Trichomonads of importance in human medicine. In: *Parasitic Protozoa II*. Kreier, J.P. (ed.). pp. 275-454. Academic Press, Inc., New York.
- Honigberg, B.M. and McLure, M.T. (1961) Intracellular *Trichomonas vaginalis* and *Trichomonas gallinae* in natural and experimental infections. *J. Parasitol.*, 47:302-303.
- Kott, H. and Adler, S. (1961) A serological study of *Trichomonas* sp. parasitic in man. *Trans. Roy. Soc. Trop. Med. Hyg.*, 55:333-344.
- Laemmli, U.K. (1970) Cleavage of structural proteins during the assembly of the head of bacteriophage T₄. *Nature* (London), 227:680-685.
- Lambin, P. (1978) Reliability of molecular weight determination of proteins by polyacrylamide gradient gel electrophoresis in the presence of sodium dodecyl sulfate. *Anal. Biochem.*, 85:114-125.
- Lowry, O.H., Rosebrough, N.J., Farr, A.L. and Randall, R.J. (1951). Protein measurement with folin phenol reagent. *J. Biol. Chem.*, 193:265-275.
- Mason, P.R. (1979) Serodiagnosis of *Trichomonas vaginalis* infection by the indirect fluorescent antibody test. *J. Clin. Pathol.*, 32:1211-1215.
- Mason, P.R. and Forman, L. (1980) *In vitro* attraction of polymorphonuclear leukocytes by *Trichomonas vaginalis*. *J. Parasitol.*, 66:888-892.
- Street, D.A., Taylor-Robinson, D., Ackers, J.P., Hanna, N.F. and McMillan, A. (1982) Evaluation of an enzyme-linked immunosorbent assay for the detection of antibody to *Trichomonas vaginalis* in sera and vaginal secretions. *Br. J. Vener. Dis.*, 58:330-333.
- Su, K.E. (1982) Antibody to *Trichomonas vaginalis* in human cervicovaginal secretions. *Infect. Immun.*, 37:832-857.
- Torian, B.E., Connelly, R.J., Stephens, R.S. and Stibbs, H.H. (1984) Specific and common antigens of *Trichomonas vaginalis* detected by monoclonal antibodies. *Infect. Immun.*, 43:270-275.
- Towbin, H., Staehelin, T. and Gordon, J. (1979) Electrophoretic transfer of proteins from polyacrylamide gels to nitrocellulose sheets: Procedures and some applications. *Proc. Natl. Acad. Sci. U.S.A.*, 76:4350-4354.
- Tsang, V.C.W., Peralta, J.M. and Simons, A.R. (1983) Enzyme-linked immunoelectrotransfer blot technique(EITB) for studying the specificities of antigens and antibodies separated by gel electrophoresis. *Methods Enzymol.*, 92:377-391.

=Abstract=

Comparative antigen analysis of *Trichomonas vaginalis* by enzyme-linked immunoelectrotransfer blot technique

Duk-Young Min, Mi-Hyea Leem, Jae-Man Kim and Yong-Keel Choi*

*Department of Parasitology, College of Medicine,
and Department of Biology*, College of Natural Sciences
Hanyang University, Seoul 133-791, Korea*

Analysis of six isolates of *Trichomonas vaginalis* was carried out with sodium dodecyl sulfate-polyacrylamide gel electrophoresis(SDS-PAGE) and enzyme-linked immunoelectrotransfer blot (EITB). Trichloroacetic acid-treated antigens of the 6 isolates revealed 25 protein profiles ranging 12~170 kDa of molecular weight in SDS-PAGE. In EITB, the specific immunogenic bands were visualized at 51 kDa and 96 kDa when HY-1 antigen was probed with different mice sera immunized with 6 isolates of *T. vaginalis*. The banding patterns with different sera showed isolate-to-isolate variability. In EITB, homologous antigen(HY-1) did not show any enhanced response in reacting to homologous antiserum(HY-1) when 6 isolates of *T. vaginalis* were probed with a single serum (HY-1). It is assumed that the different banding patterns of six isolates show isolate-to-isolate variability and immunogenic common bands in 41, 47, 74 and 94 kDa on EITB may connote the important significance on immune response in *T. vaginalis* infection.

[Korean J. Parasit., 30(4):323-328, December 1992]